

# НЕСТАЦИОНАРНЫЙ РАДИАЦИОННО-КОНДУКТИВНЫЙ ТЕПЛООБМЕН В ПЛОСКОМ СЛОЕ СЕЛЕКТИВНО-ПОГЛОЩАЮЩЕЙ И ИЗЛУЧАЮЩЕЙ СРЕДЫ

А. Л. Бурка

Институт теплофизики им. С. С. Кутателадзе СО РАН, 630090 Новосибирск

Представлены результаты численного решения нестационарной краевой задачи о радиационно-кондуктивном теплообмене в плоском слое селективной нерассеивающей среды с полупрозрачными зеркально отражающими границами, которая с помощью функции Грина свелась к нелинейному интегральному уравнению относительно искомой температуры. Показано, что оптические свойства стенок оказывают заметное влияние на формирование температурного поля в слое. Интенсивность нагрева слоя в большей степени зависит от радиационных потоков, чем от кондуктивных.

Проблема совместного переноса тепла теплопроводностью и излучением в различных материалах связана с важными техническими приложениями (теплообменом в волокнистых изоляторах, нагревом, охлаждением стекол и т. д.). Поэтому исследование вклада излучения в суммарном переносе тепла применительно к разным физическим и техническим задачам представляет большой практический интерес.

В работе [1] изучена нестационарная селективная задача о радиационно-кондуктивном теплообмене (РКТ) в слое с полупрозрачными границами, учтена температурная зависимость коэффициента поглощения. Учет селективного характера излучения осуществляется методом ступенчатой аппроксимации реальных спектров поглощения [2, 3] либо усреднением коэффициента поглощения по частоте [4, 5]. Необходимость в разумном усреднении объемного коэффициента поглощения возникает из-за трудностей вычислительного характера, связанных с определением интегральной полусферической плотности радиационного потока.

Ниже рассматриваются постановка и метод решения задачи о радиационно-кондуктивном теплообмене в полупрозрачной селективно-поглощающей и излучающей среде, разделенной двумя зеркально отражающими параллельными плоскостями. Численный алгоритм решения задачи предполагает учет зависимости тепловых и радиационных характеристик среды от температуры. Математическая постановка задачи описывает процессы переноса тепла теплопроводностью и излучением в форме нестационарного уравнения энергии и уравнения переноса.

Уравнение энергии с граничными условиями:

$$\rho(T)c(T) \frac{\partial T}{\partial t} = \frac{\partial}{\partial x} \left[ \lambda(T) \frac{\partial T}{\partial x} \right] - \frac{\partial E}{\partial x}, \quad 0 < x < L, \quad t > 0; \quad (1)$$

$$\lambda \frac{\partial T}{\partial x} = \alpha_1(T - T_1) - \int_{\Omega_1} \varepsilon_{1\nu} [Q_1(\nu, T_1^*) - E_{\nu 1}(\nu, T)] d\nu, \quad x = 0; \quad (2)$$

$$\lambda \frac{\partial T}{\partial x} = \alpha_2(T_2 - T) + \int_{\Omega_2} \varepsilon_{2\nu} [Q_2(\nu, T_2^*) - E_{\nu 2}(\nu, T)] d\nu, \quad x = L; \quad (3)$$

$$T(x, 0) = T_0(x). \quad (4)$$

Здесь

$$\frac{\partial E}{\partial x} = \int_0^\infty k_\nu [4\pi I_{p\nu} - G_\nu(x)] d\nu; \quad G_\nu(x) = 2\pi \int_0^1 [I_\nu^+(x, \mu) + I_\nu^-(x, -\mu)] d\mu;$$

$T_1, T_2$  — температуры внешней среды;  $Q_1, Q_2$  — внешние потоки излучения;  $T_1^*, T_2^*$  — температуры внешних излучателей;  $E_{\nu i}, \varepsilon_{i\nu}, \Omega_i$  — плотности потоков собственного излучения, степени черноты, спектральные области непрозрачности граничных поверхностей соответственно.

Уравнения переноса с граничными условиями:

$$\mu \frac{dI_\nu^+}{dx} + k_\nu I_\nu^+ = k_\nu I_{p\nu}(x); \quad (5)$$

$$\mu \frac{dI_\nu^-}{dx} - k_\nu I_\nu^- = -k_\nu I_{p\nu}(x); \quad (6)$$

$$I_\nu^+(0, \mu) = n_\nu^2 [1 - R_{0\nu}(\mu)] I_{p\nu}(T) + R_{0\nu}(\mu) I_\nu^-(0, \mu); \quad (7)$$

$$I_\nu^-(1, \mu) = n_\nu^2 [1 - R_{1\nu}(\mu)] I_{p\nu}(T) + R_{1\nu}(\mu) I_\nu^+(1, \mu). \quad (8)$$

Здесь  $x, k_\nu$  — безразмерные координата и объемный коэффициент поглощения;  $n_\nu$  — показатель преломления;  $R_{i\nu}$  — коэффициенты отражения от границ поверхностей ( $i = 1, 2$ ).

После введения новой переменной  $u(x, t) = \int_0^\theta \lambda(z) dz$  краевая задача (1)–(4) принимает вид

$$\frac{\partial^2 u}{\partial x^2} - u = F(q, x, t), \quad 0 < x < 1, \quad t > 0; \quad (9)$$

$$\frac{\partial u}{\partial x} = q_1, \quad x = 0; \quad (10)$$

$$\frac{\partial u}{\partial x} = q_2, \quad x = 1. \quad (11)$$

Формальное решение краевой задачи (9)–(11) с использованием функции Грина для дифференциального оператора левой части (9) следующее:

$$\int_0^\theta \lambda(z) dz = [q_2(\theta) \operatorname{ch}(x) - q_1(\theta) \operatorname{ch}(1-x)] / \operatorname{sh}(1) + \int_0^1 F(\theta, z, t) \Gamma(x, z) dz, \quad (12)$$

где

$$F(\theta, x, t) = \sigma_0 T_*^3 G_R(x) + R(\theta) \frac{\partial \theta}{\partial t} - \int_0^\theta \lambda(z) dz. \quad G_R(x) = \frac{1}{\sigma_0 T_*^3} \int_0^\infty k_\nu [4\pi I_{p\nu}(\theta) - G(x)] d\nu;$$

$$q_1(\theta) = \alpha_1 L(\theta - \theta_1) - \sigma_0 T_*^3 L \int_{\Omega_1} \varepsilon_{\nu 1} [\Phi_1(\nu, \theta_1^*) - \Phi_{1\nu}(\nu, \theta)] d\nu \quad (x = 0);$$

$$q_2(\theta) = \alpha_2 L(\theta_2 - \theta) - \sigma_0 T_*^3 L \int_{\Omega_2} \varepsilon_{\nu 2} [\Phi_2(\nu, \theta_2^*) - \Phi_{2\nu}(\nu, \theta)] d\nu \quad (x = 1);$$

$$\Phi_i(\nu, \theta_i^*) = Q_i(\nu, \theta_i^*) / (\sigma_0 T_*^4); \quad \Phi_{i\nu}(\nu, \theta) = E_{\nu i}(\nu, \theta) / (\sigma_0 T_*^4);$$

$$E_{\nu i} = 2\pi h\nu^3 n^2 (\exp(h\nu/T_*\theta_i) - 1)^{-1}/c_0^2;$$

$$R(\theta) = \rho c L^2; \quad \theta(x, t) = T(x, t)/T_*; \quad \theta_i = T_i/T_* \quad (i = 1, 2).$$

Функцию Грина  $\Gamma(x, z)$ , с помощью которой краевая задача (9)–(11) свелась к нелинейному интегральному уравнению (12) относительно искомой температуры  $\theta(x, t)$ , запишем как

$$\Gamma(x, z) = \begin{cases} -\operatorname{ch}(x)\operatorname{ch}(1-z)/\operatorname{sh}(1), & x \leq z, \\ -\operatorname{ch}(1-x)\operatorname{ch}(z)/\operatorname{sh}(1), & x \geq z. \end{cases}$$

Дивергенция радиационного потока  $dE_{\nu}/dx$  выражается через интенсивности излучения  $I_{\nu}^+$ ,  $I_{\nu}^-$ , которые определяются из решения краевой задачи для уравнения переноса методом вариации произвольной постоянной и имеют вид

$$I_{\nu}^+(x, \mu) = \left\{ I_{\nu}^+(0, \mu) + \frac{n_{\nu}^2}{\mu} \int_0^x k_{\nu}(y) I_{p\nu}(y) \exp\left(\frac{1}{\mu} \int_0^y k_{\nu}(z) dz\right) dy \right\} \exp\left(-\frac{1}{\mu} \int_0^x k_{\nu}(z) dz\right); \quad (13)$$

$$I_{\nu}^-(x, \mu) = \left\{ I_{\nu}^-(1, \mu) + \frac{n_{\nu}^2}{\mu} \int_x^1 k_{\nu}(y) I_{p\nu}(y) \exp\left(\frac{1}{\mu} \int_y^1 k_{\nu}(z) dz\right) dy \right\} \exp\left(-\frac{1}{\mu} \int_x^1 k_{\nu}(z) dz\right). \quad (14)$$

Явные выражения для граничных интенсивностей получаются из решения системы двух алгебраических уравнений относительно  $I_{\nu}^+(0, \mu)$ ,  $I_{\nu}^-(1, \mu)$  с использованием соотношений (7), (8), (13), (14). Подставляя выражения для  $I_{\nu}^+(0, \mu)$ ,  $I_{\nu}^-(1, \mu)$  в (13), (14), получим окончательные выражения для интенсивностей, применяемые при определении дивергенции радиационного потока  $dE_{\nu}/dx$ , интегральное значение которого по спектру подставляется в уравнение энергии (1).

Таким образом, задача о РКТ (1)–(8) в плоском слое селективно-поглощающей и излучающей среды свелась к решению нелинейного интегрального уравнения (12) относительно искомой безразмерной температуры  $\theta(x, t)$ . Метод решения уравнения (12) дает возможность использовать итерационные процессы типа Ньютона — Канторовича и получить решение задачи с любой степенью точности.

На основе разработанного алгоритма составлена программа численного решения нестационарного уравнения энергии в теплопроводной, излучающей и поглощающей среде. На каждом временном шаге интегральное уравнение (12) решалось методом Ньютона — Канторовича [6].

Интегралы в (12)–(14) вычислялись по квадратурным формулам Гаусса с 20 узлами. Производная  $\partial\theta/\partial t$  аппроксимировалась конечно-разностным отношением. Для каждого момента времени рассчитывались температурный профиль и плотность потока суммарного излучения. Результаты численного решения интегрального уравнения (12) приведены на рис. 1–6. Расчеты проведены при следующих теплофизических и оптических данных применительно к органическому стеклу толщиной  $L = 0,024$  м:  $\lambda = 0,189$  Вт/(м·К),  $T_0 = 300$  К,  $T_* = 1600$  К,  $T_1^* = 1000$  К,  $T_2^* = 1000$  К,  $n = 1,6$ ,  $a = 9$  м<sup>2</sup>/с ( $\lambda$  — коэффициент теплопроводности,  $n$  — показатель преломления,  $a$  — коэффициент температуропроводности). Спектральный коэффициент объемного поглощения при  $T = 300$  К рассчитывался по экспериментально измеренному спектру пропускания органического стекла СО-120 [7].

На рис. 1–5 представлено распределение безразмерной температуры по сечению слоя стекла в различные моменты времени. Здесь  $Bi_1$ ,  $Bi_2$ ,  $r_1$ ,  $r_2$  — безразмерные коэффициенты теплоотдачи и коэффициенты отражения соответственно.

Динамика нагрева слоя показана на рис. 1, когда поверхность слоя  $x = 0$  поддерживается при постоянной температуре ( $\theta_1 = 0,38$ ,  $Bi_1 = \infty$ ), а поверхность слоя  $x = 1$

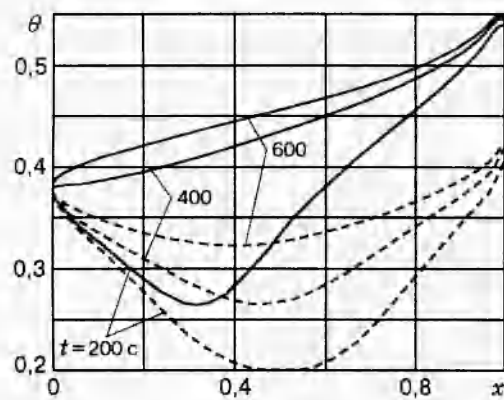


Рис. 1

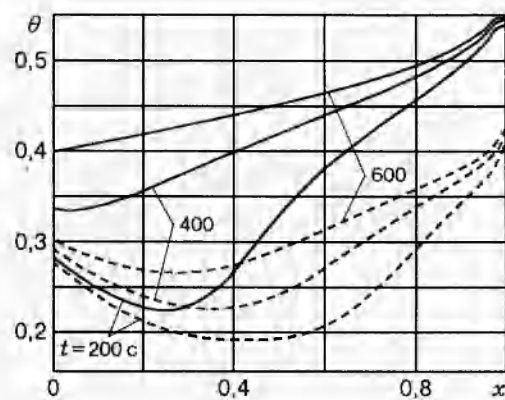


Рис. 2

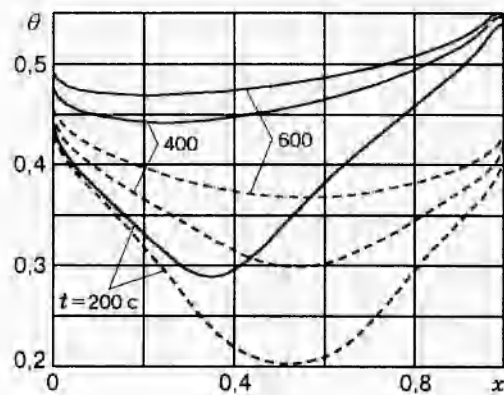


Рис. 3

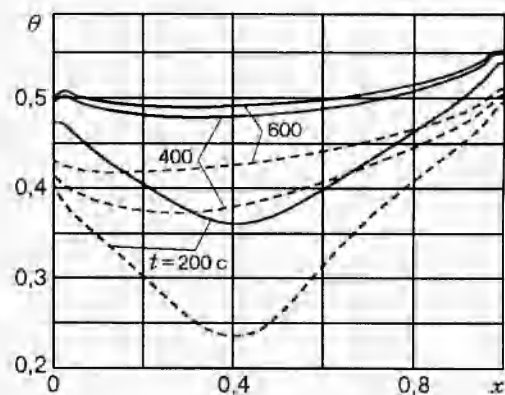


Рис. 4

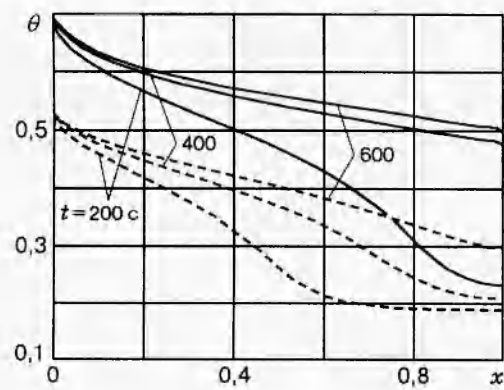


Рис. 5

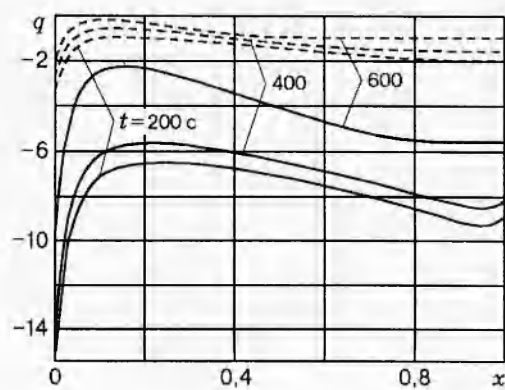


Рис. 6

подвергается радиационно-конвективному нагреву ( $q_2 \neq 0$ ,  $Bi_2 = 5,6$ ). Здесь штриховые линии отвечают  $r_1 = 1$ ,  $r_2 = 1$ , сплошные —  $r_1 = 1$ ,  $r_2 = 0,5$ . На рис. 2 представлено распределение температуры в слое, когда поверхность слоя  $x = 0$  нагревается только за счет конвекции ( $Bi_1 = 5,6$ ). Условия на поверхности  $x = 1$  аналогичны условиям рис. 1. Рис. 3 характеризует процесс нагрева слоя, когда обе его поверхности нагреваются радиационно-конвективными потоками ( $q_1 \neq 0$ ,  $q_2 \neq 0$ ). Рис. 4 показывает, как при незначительном уменьшении отражательных способностей поверхностей слоя заметно повышается температурный уровень в слое. На рис. 3 штриховые линии отвечают  $r_1 = r_2 = 1$ , сплошные —  $r_1 = 1$ ,  $r_2 = 0,5$ , а на рис. 4 штриховые линии соответствуют  $r_1 = 1$ ,  $r_2 = 0,8$ , сплошные —  $r_1 = 0,8$ ,  $r_2 = 0,5$ .

Влияние падающего радиационного потока на температурное распределение в слое стекла для обеих поверхностей слоя иллюстрирует рис. 5 ( $Bi_1 = 0,56$ ,  $Bi_2 = 0$  при  $r_1 = 0,8$ ,  $r_2 = 1$ ; сплошные линии —  $q_1 = 13,6$ ,  $q_2 = 0$ , штриховые —  $q_1 = 3,8$ ,  $q_2 = 0$ ).

Распределение радиационного потока в слое стекла представлено на рис. 6 для условий, аналогичных предыдущему (рис. 5) случаю.

В заключение отметим, что оптические свойства стенок оказывают заметное влияние на формирование температурного поля в слое органического стекла. Интенсивность нагрева слоя в большей степени зависит от падающих радиационных потоков, чем от конвективных.

Работа выполнена при финансовой поддержке Российского фонда фундаментальных исследований (код проекта 97-02-18558).

## ЛИТЕРАТУРА

- Бурка А. Л. К учету зависимости коэффициента поглощения от температуры при исследовании сложного теплообмена // Теплообмен излучением. Новосибирск, 1977. С. 24–31.
- Рубцов Н. А., Кузнецова Ф. А. Радиационно-кондуктивный теплообмен в селективно-поглощающей среде // Изв. АН СССР. Энергетика и транспорт. 1972. № 3. С. 161–164.
- Бурка А. Л., Рубцов Н. А., Синицын В. А. Радиационно-конвективный теплообмен в плоском слое селективно-поглощающей завесы // ПМТФ. 1972. № 3. С. 179–181.
- Воронина И. С., Замураев В. П., Севастьяненко В. Г. Расчет переноса энергии излучения в непрерывном спектре с учетом изменения коэффициента поглощения по частоте при наличии реабсорбции // ПМТФ. 1968. № 1. С. 98–102.
- Онуфриев А. Т., Севастьяненко В. Г. Расчет цилиндрической электрической дуги с учетом переноса энергии излучения. Дуга в водороде при давлении 100 атм // ПМТФ. 1968. № 2. С. 17–22.
- Канторович Л. В. О методе Ньютона // Тр. мат. ин-та АН СССР. 1949. Т. 28. С. 135–139.
- Бурка А. Л., Рубцов Н. А., Ступин В. П. Теоретическое и экспериментальное исследование режимов нагрева органического стекла // Тепломассообмен-VI. Минск, 1980. Т. 2. С. 132–137.

Поступила в редакцию 2/VII 1996 г.